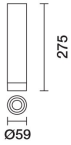


Última actualización de la información: Marzo 2025

Configuraciones productos: R716.47

R716.47: Ø59 Deco - DALI - Flood Beam - Blanco/Negro



Código producto

R716.47: Ø59 Deco - DALI - Flood Beam - Blanco/Negro

Descripción

Cuerpo de iluminación cilíndrico para aplicaciones de techo o suspensión. Sistema emisor de óptica fija con reflector de alta definición en material termoplástico metalizado. Un elemento final decorativo -en PMMA transparente de gran espesor- enfatiza y define de manera elegante la difusión luminosa. Cilindro estructural de aluminio extruido pintado - anillo interno de material termoplástico negro. Cristal de protección. Utilizando los kits accesorios específicos es posible realizar instalaciones en techo o suspensión, con intervenciones mínimas y facilitadas por un práctico sistema de bayoneta. Controlador regulable DALI integrado en la luminaria.

Instalación

De superficie o suspensión - utilizar los kits específicos de montaje disponibles con código independiente.

Colores

Blanco/Negro (47)

Peso (Kg)

0.49

Montaje

en el techo|suspendido del techo

Equipo

El cuerpo de iluminación incorpora clema de conexión interna para la conexión a la línea o al cable de suspensión.

Se conforma con EN60598-1 y regulaciones pertinentes



Datos técnicos

| | | | |
|---|------|--------------------------------------|---------------------------------|
| Im de sistema: | 866 | Temperatura de color [K]: | 4000 |
| W de sistema: | 12.3 | MacAdam Step: | 2 |
| Im de la fuente: | 1220 | Life time (vida útil) LED 1: | > 50,000h - L90 - B10 (Ta 25°C) |
| W de la fuente: | 11 | Voltaje [Vin]: | 230 |
| Eficiencia luminosa (lm/W, valor del sistema): | 70.4 | Código de lámpara: | LED |
| Im en modo emergencia: | - | Número de lámparas por grupo óptico: | 1 |
| Flujo total de emisión en un ángulo de 90° o superior [Lm]: | 0 | Código ZVEI: | LED |
| Light Output Ratio (L.O.R.) [%]: | 71 | Número de grupos ópticos: | 1 |
| Ángulo de apertura del haz de luz [°]: | 38° | Control: | DALI-2 |
| CRI (mínimo): | 90 | | |

Polar

| Imax=2041 cd | | Lux | | | |
|--------------|------|-----|-----|-----|------------------|
| 90° | 180° | h | d | Em | E _{max} |
| | | 2 | 1.4 | 410 | 510 |
| | | 4 | 2.8 | 103 | 128 |
| | | 6 | 4.2 | 46 | 57 |
| | | 8 | 5.6 | 26 | 32 |
| α=39° | | | | | |

Isolux

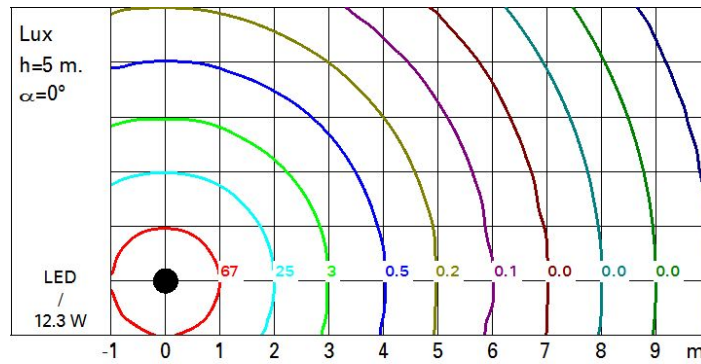


Diagrama UGR

| Corrected UGR values (at 1220 lm bare lamp luminous flux) | | | | | | | | | | | |
|---|-----|------------------|------|--------|------|------|----------------|------|------|--------|------|
| Riflect.: | | viewed crosswise | | | | | viewed endwise | | | | |
| ceiling/cav | | 0.70 | 0.70 | 0.50 | 0.50 | 0.30 | 0.70 | 0.70 | 0.50 | 0.50 | 0.30 |
| walls | | 0.50 | 0.30 | 0.50 | 0.30 | 0.30 | 0.50 | 0.30 | 0.50 | 0.30 | 0.30 |
| work pl. | | 0.20 | 0.20 | 0.20 | 0.20 | 0.20 | 0.20 | 0.20 | 0.20 | 0.20 | 0.20 |
| Room dim | | viewed crosswise | | | | | viewed endwise | | | | |
| x | y | | | | | | | | | | |
| 2H | 2H | 9.5 | 10.0 | 9.7 | 10.3 | 10.5 | 9.5 | 10.0 | 9.7 | 10.3 | 10.5 |
| | 3H | 10.0 | 10.6 | 10.3 | 10.8 | 11.1 | 9.5 | 10.0 | 9.8 | 10.3 | 10.5 |
| | 4H | 10.6 | 11.1 | 11.0 | 11.4 | 11.7 | 9.5 | 10.0 | 9.8 | 10.3 | 10.6 |
| | 6H | 11.3 | 11.8 | 11.7 | 12.1 | 12.4 | 9.5 | 9.9 | 9.8 | 10.3 | 10.6 |
| | 8H | 11.6 | 12.1 | 12.0 | 12.4 | 12.7 | 9.5 | 9.9 | 9.9 | 10.3 | 10.6 |
| | 12H | 11.8 | 12.2 | 12.2 | 12.6 | 12.9 | 9.5 | 9.9 | 9.9 | 10.2 | 10.6 |
| 4H | 2H | 9.5 | 10.0 | 9.8 | 10.3 | 10.6 | 10.6 | 11.1 | 11.0 | 11.4 | 11.7 |
| | 3H | 10.4 | 10.8 | 10.7 | 11.1 | 11.5 | 11.0 | 11.4 | 11.4 | 11.7 | 12.1 |
| | 4H | 11.2 | 11.6 | 11.6 | 12.0 | 12.4 | 11.2 | 11.6 | 11.6 | 12.0 | 12.4 |
| | 6H | 12.2 | 12.5 | 12.6 | 12.9 | 13.3 | 11.5 | 11.8 | 11.9 | 12.2 | 12.6 |
| | 8H | 12.6 | 12.9 | 13.0 | 13.3 | 13.7 | 11.6 | 11.9 | 12.0 | 12.3 | 12.7 |
| | 12H | 12.9 | 13.1 | 13.3 | 13.6 | 14.0 | 11.6 | 11.9 | 12.1 | 12.3 | 12.8 |
| 8H | 4H | 11.6 | 11.9 | 12.0 | 12.3 | 12.7 | 12.6 | 12.9 | 13.0 | 13.3 | 13.7 |
| | 6H | 12.7 | 13.0 | 13.2 | 13.4 | 13.9 | 13.0 | 13.3 | 13.5 | 13.7 | 14.2 |
| | 8H | 13.2 | 13.5 | 13.7 | 13.9 | 14.4 | 13.2 | 13.5 | 13.7 | 13.9 | 14.4 |
| | 12H | 13.6 | 13.8 | 14.1 | 14.3 | 14.8 | 13.4 | 13.6 | 13.9 | 14.1 | 14.6 |
| 12H | 4H | 11.6 | 11.9 | 12.1 | 12.3 | 12.8 | 12.9 | 13.1 | 13.3 | 13.6 | 14.0 |
| | 6H | 12.9 | 13.1 | 13.3 | 13.5 | 14.0 | 13.4 | 13.6 | 13.9 | 14.0 | 14.5 |
| | 8H | 13.4 | 13.6 | 13.9 | 14.1 | 14.6 | 13.6 | 13.8 | 14.1 | 14.3 | 14.8 |
| Variations with the observer position at spacing: | | | | | | | | | | | |
| S = | | 1.0H | 1.8 | / -0.7 | | 1.8 | / -0.7 | | 1.8 | / -0.7 | |
| | | 1.5H | 3.5 | / -0.9 | | 3.5 | / -0.9 | | 3.5 | / -0.9 | |
| | | 2.0H | 5.0 | / -0.9 | | 5.0 | / -0.9 | | 5.0 | / -0.9 | |